基于 ZigBee 技术的煤矿现场气体 监测系统设计

智 鹏 辉 韩 成 浩 (吉林建筑大学电气与计算机学院)

摘要:地下煤矿现场工作环境恶劣,有毒及易燃气体的含量快速升高可能导致人员伤亡以及经济损失。因此,对井下重点区域的气体成分进行定时监测意义重大。本文设计了一种基于 ZigBee 地下无线传感器网络的监测系统,采集煤矿现场温湿度数据,以及有害气体包括甲烷、一氧化碳的气体含量数据。系统显示界面的设计基于 LabVIEW 程序,可对数据进行实时显示与阈值报警,历史数据将保存至 MySQL 数据库,以供后续数据分析和处理。

关键词: 瓦斯监测; ZigBee; LabVIEW; 无线网络; MySQL

0 引言

煤矿是我国长期的主要能源之一。在煤矿开采过程中由于诸如设备失灵、人员安全意识薄弱等原因,造成巨大损失。超过10人死亡的事故中,90%的直接原因是瓦斯事故^[1]。我国仍有相当大的比例采用有线监测系统,其具有高稳定性、强抗干扰能力等优点,但在矿井掘进面推进时,不宜随着巷道的深入随时敷设,并且在采空区布置存在困难,可能造成监测盲区。本文根据井下煤矿现场的特殊环境,设计了一种基于ZigBee 无线传感器网络的煤矿气体监测系统。

地下煤矿有害气体包括可能引起爆炸的瓦斯气体,以及爆炸后在巷道中扩散的有毒气体。瓦斯气体主要成分是烷烃,其中占比最高的是甲烷气体,其含量通常在瓦斯气体的50%到90%之间,根据煤层的类

型、成熟度、厚度、深度等因素而不同。国内学者对不同瓦斯体积浓度爆炸后的气体进行测定,初始甲烷浓度越高,爆炸后被释放的 CO 含量越高。因此将甲烷以及一氧化碳气体作为本系统主要监测的气体。

目前煤矿井下无线传感器网络较少使用 WiFi、蓝牙等高功耗无线网络,更多采用 LoRaWAN(远距离宽区域网络)、NB-IoT(窄带宽物联网)、ZigBee等低功耗网络,ZigBee 是在满足 IEEE 802.15.4 标准之上建立低成本、低功耗的无线局域网,包括对网络层、应用程序支持层、应用层的技术规范^[2]。以上无线网络均可作为传感器网络。ZigBee 的分布式组网方式是其最大优点,相较于前两种传感器网络,更加适用于地下煤矿现场的实际情况。三种无线传输方式的比较如表 1 所示。

|| 产品与技术 ||

| | LoRaWAN | NB-IoT | ZigBee |
|------|----------|-----------|-----------|
| 功耗 | 低 | 低 | 低 |
| 有效距离 | 20km | 10km | 100m |
| 传输速率 | 50Kbit/s | 250Kbit/s | 250Kbit/s |
| 传输介质 | 无线电 | 蜂窝移动 | 无线电 |
| 基站需求 | 是 | 是 | 否 |

表 1 无线传输方式的比较

1 系统总体结构

地下无线传感器网络采用树型拓扑结构, 各节 点气体信息发送至继电控制单片机,继电控制单片机 将数据通过 CAN 总线定时发送至上位机 [3]。上位机 采用 LabVIEW 软件对数据进行显示,并将历史数据 保存至 MySQL 数据库。有害气体超标时,系统确认 危险信息的位置, 启动声光报警, 提醒人员疏散与防 护。并根据当前地下情况启动相应继电设备。系统的 总体设计图如图 1 所示。

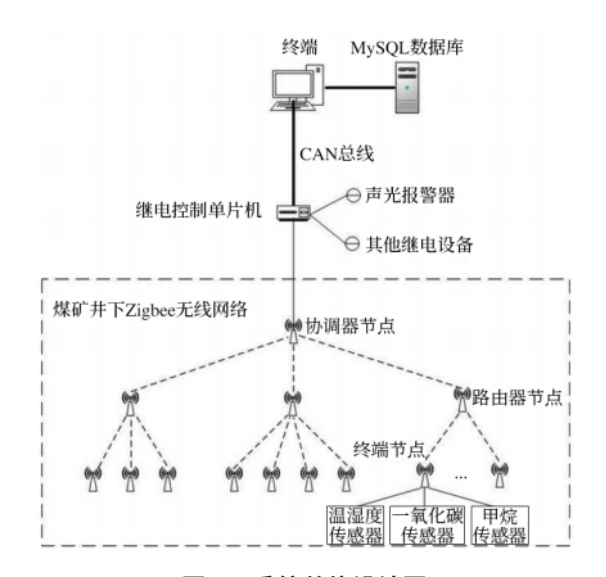


图 1 系统总体设计图

2 硬件设计

2.1 无线节点硬件设计

无线传感器网络是一种自组织的网络系统, 能够 协同感知、收集和处理环境信息, 使得网络在环境干 扰或节点故障的情况下仍可稳定运行。ZigBee 无线 | 的一个, 传输速率为 250kbit/s。 MQ4 与 MQ7 传感器

网络设备根据功能可划分为路由器、协调器和终端节 点,路由器提供路由功能,将数据转发至其他相邻节 点[4]。当某个节点失去连接时,附近的其他路由节点 会返回数据并改变网络拓扑。协调器负责建立网络以 及设备的管理任务等,且每个网络只能同时存在一个 协调器。

ZigBee 网络具有一套用于感知周围节点失去连 接并且重新建立拓扑的机制,节点通过心跳机制定期 发送心跳信号感知周围节点的在线状态。当某节点失 去连接、相邻节点将与父节点尝试建立连接。通过这 种方式进行更新与重组, 保证网络整体连通性。

为了保证网络的可扩展性, 各节点的硬件和软 件需严格统一,并在编译时划分为不同功能的模块, 硬件包括微处理器、射频模块、供电模块和传感器 模块。无线节点采用内部集成8051微控制器核心的 CC2530 芯片作为微处理器。传感器模块包括甲烷传 感器 MO4、一氧化碳传感器 MO7 与温湿度传感器 DHT11。DHT11 为单线数字输出的温湿度复合传感 器, 3~5.5V 直流供电。MQ4 与 MQ7 是常见的半导 体气敏传感器,其内部的气敏材料二氧化锡的电导率 随着空气中被测气体浓度增大而增大。根据内部辅助 元件的不同, 从而检测不同类型的气体, 通过简单的 转换电路模拟输出气体含量。图 2 由左至右分别是用 于检测气体的 MQ4 与 MQ7 模块。





图 2 MQ4 (左) 与 MQ7 (右) 传感器模块

射频电路包括射频收发器、天线、滤波器、放 大器、频率合成器等, 其频段选择 16 个 2.4GHz 中

|| 产品与技术 ||

数据以模拟信号输入,温湿度传感器 DHT11 则以数字信号输入。终端节点的供电源采用 4 节五号电池,节点大部分时间处于休眠状态。按照每小时工作 4 分钟计算,4 节 5 号电池可以供终端节点工作时间长达3 个月^[5]。无线节点的硬件原理图如图 3 所示。

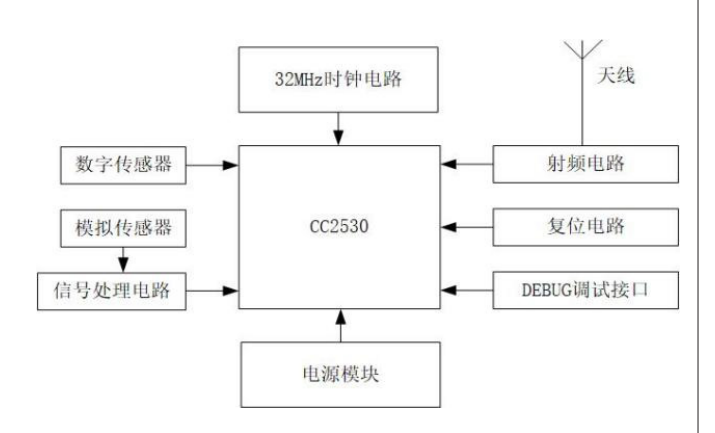


图 3 ZigBee 无线节点硬件原理图

2.2 继电控制单片机硬件设计

ZigBee 无线传感器网络的数据传输到远程服务器,需要添加例如基于以太网、4G等技术的单片机作为中继设备。本文采用 CAN 总线将矿区与地上管理系统进行连接。

CAN 总线是现场总线的一种,其仲裁方式具有较高的可靠性,可形成多主机网络,并联多个矿区以及在总线上拓展其他系统。连接在 CAN 总线上的节点根据报文前 11 位字符的仲裁场确定优先级,判断是否接收此报文。信号采用差分方式传输,当VCAN-H 与 VCAN 两根数据线上的电压差很小时,被称为"隐性状态",电压差大于最小阈值被称为"显性状态"信。"隐性状态"代表数据"1"。"显性状态"代表数据"0"。加之 CAN 总线两端通常设置防止信号反射的终端电阻,这使 CAN 总线能更好地抑制共模干扰。图 4 表示 CAN 总线由隐性状态到显性状态,再到隐性状态的过程。

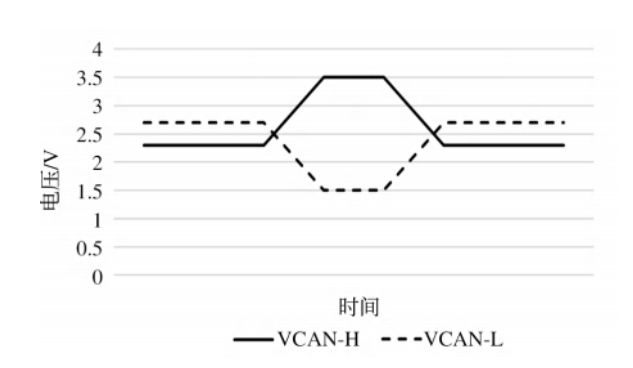


图 4 CAN 总线传输状态

本文采用 Cygnal 公司推出的 8 位单片机 C8051F040 作为中继设备,其内核支持 CAN2.0A和 CAN2.0B协议。外接 PCA82C250CAN 收发器对 CAN 控制器与 CAN 总线在物理层进行隔离,实现 CAN 总线收发能力。继电控制单片机硬件设计包括电源电路、时钟电路、复位电路、USB 下载电路等基本电路。包括 M25P32 具有 32MB 串行 flash 存储器,LCD12864显示屏与矩阵键盘等。继电模块在煤矿气体超标时应根据有害气体类型与浓度,以 CO 气体为例,当浓度低时应启动包括轴流风机与离心风机为主的排风设备,加速气体流通。当浓度较高时,则关闭排风系统防止有害气体进一步扩散。当甲烷气体超过安全阈值时,应关闭钻掘机、装载机、皮带运输机等机械设备,防止火花引发爆炸。继电控制单片机硬件原理图如图 5 所示。

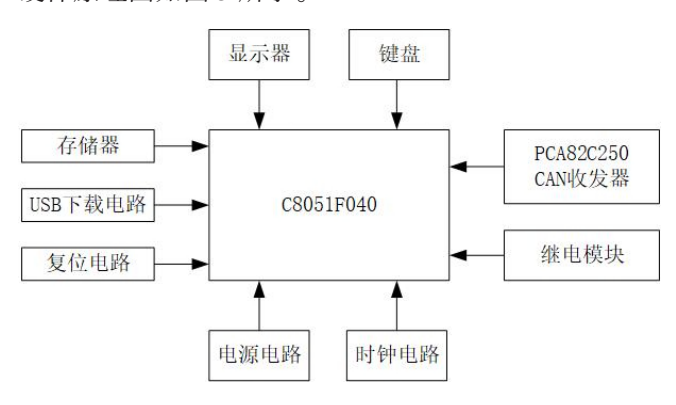


图 5 继电控制单片机硬件原理图

|| 产品与技术 ||

3 软件设计

3.1 无线节点软件设计

本系统中无线节点的软件体系结构采用美国德州仪器公司(TI)提供的 Z-Stack 协议栈,并在 IAR 开发环境下进行开发^[7]。该协议栈将 IEE 802.15.4 的各层协议集成为函数库,并提供给用户应用程序接口(API),以实现各种应用功能。这使用户可以更专注于应用逻辑,不需要涉及硬件底层逻辑的具体实现。图 6 为 IAR 开发环境中协议栈文件夹,MAC 层管理无线介质的接入,并提供设备管理、信道访问等功能。网络层组织控制 ZigBee 网络的拓扑、路由以及网络安全。用户程序编写应用层,通过程序接口访问底层协议,并通过编写高级语言实现应用功能。

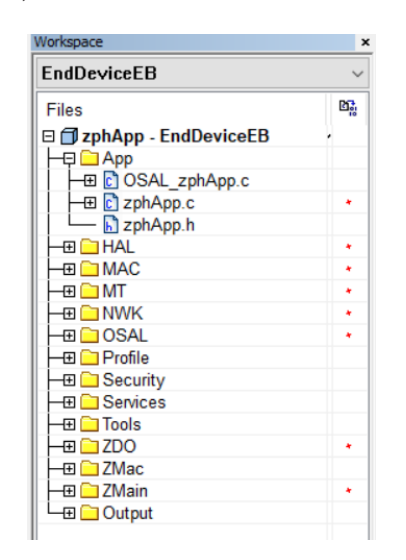


图 6 IAR 中 ZigBee 协议栈文件夹

ZigBee 节点的位置信息可通过以下三种方法获得:第一种方法是通过分析节点间信号强度,间接推算位置信息;第二种方法是通过 ZigBee 集成 GPS 模块获取位置信息 ^[8];第三种方法是将节点编号连同数据信息一起传输给上位机,并通过位置映射确定节点位置。鉴于地下空间结构复杂、GPS 信号差等因素,采用第三种方法确定位置信息更加适宜。

在每个 ZigBee 网络中,至多存在一个协调器节点,该节点在硬件与协议栈初始化后建立无线网络,确定信道与网络标识(PANID),并等待其他路由节点与终端节点加入,并为其分配地址。ZigBee 协调器节点的程序流程图如图 7 所示。

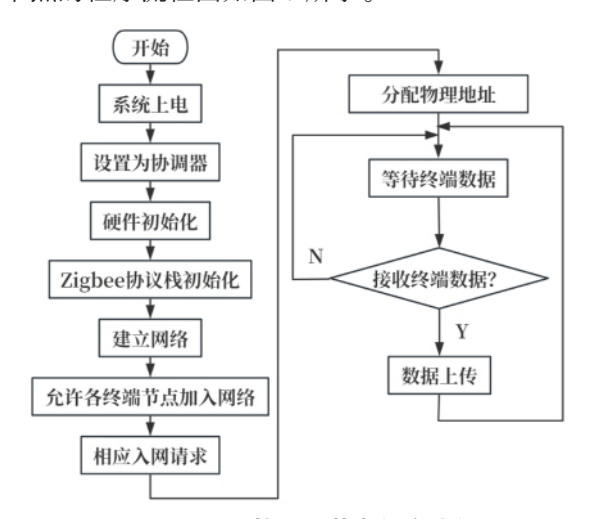


图 7 Zigbee 协调器节点程序流程图

终端节点上电初始化后发出组网信息寻找固定网络。当协调器不在信号范围内时,终端节点不断发出信标请求帧,若协调器响应,将发送关联请求命令。协调器收到后回复确认帧完成组网。终端节点组网程序流程如图 8 所示。

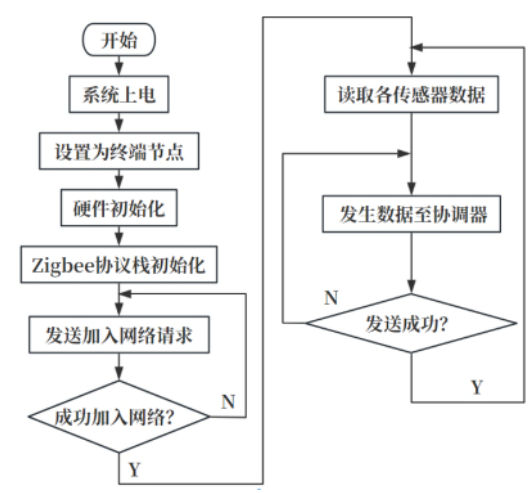


图 8 Zigbee 终端节点组网程序流程图

|| 产品与技术 ||

数据采集程序是 Zigbee 节点最后一部分程序。 当系统上电后,终端节点进行包括硬件接口、协议 栈、传感器、重置中断等初始化,启动时钟切换程 序,提高时钟频率至 32MHz,节点在采集气体数据后 进行均值计算,防止个别数据导致的误操作与报警。

3.2 上位机程序设计

本文中煤矿现场气体监测系统的上位机设计采用 美国国家仪器公司(NI)推出的 LabVIEW 软件,其 最早诞生于 1986 年作为实验室虚拟仪器的工作平台, 其定位是作为虚拟仪器辅助工作,采用图形化 G 语言 进行编程。LabVIEW 支持传统的程序调试,如单步执 行、设置断点等。函数选项中内置了常用 VI 模块如串 口控制、数据显示等供用户调用 ^[9]。LabVIEW 程序的 优点是程序的模块化设计并且简单的可视化编程,并 且包括可以进行信号处理、控制系统、图像处理等大 量的工具包,可作为本系统进行上位机软件设计。

在1993年,NI公司开发出虚拟仪器软件架构(VISA),是LabVIEW的核心工具包之一。它使LabVIEW与不同厂商硬件设备具有交互功能,不仅支持示波器、信号发生器等常用硬件仪器,还支持常用通信协议,如USB、TCP/IP、CAN等。VISA工具包中集成常用的基本通信函数,如图9所示配置串口函数,包括选择VISA接口、设置波特率等设置。

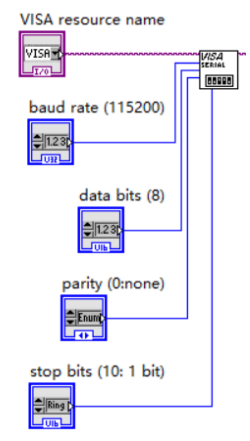


图 9 VISA 配置串口设置

对于 ZigBee 网络的上传的信息,通过对字符串 截取的方式对节点位置、气体含量进行分析。在图 10 所示的条件控制结构中,根据截取的节点号,确定并 区分不同无线数据节点上传的数据,进入不同的条件 分支进行显示与保存。本程序设置 3 个条件分支,在 每个条件分支内,对数据字符串进行进一步处理,将 温度、湿度、CH₄ 含量、CO 含量实时显示,更清晰 地展示气体浓度变化。程序可设置各项参数的报警阈值,一旦气体含量超标,LabVIEW 前面板的报警指 示灯启动并产生声音报警。

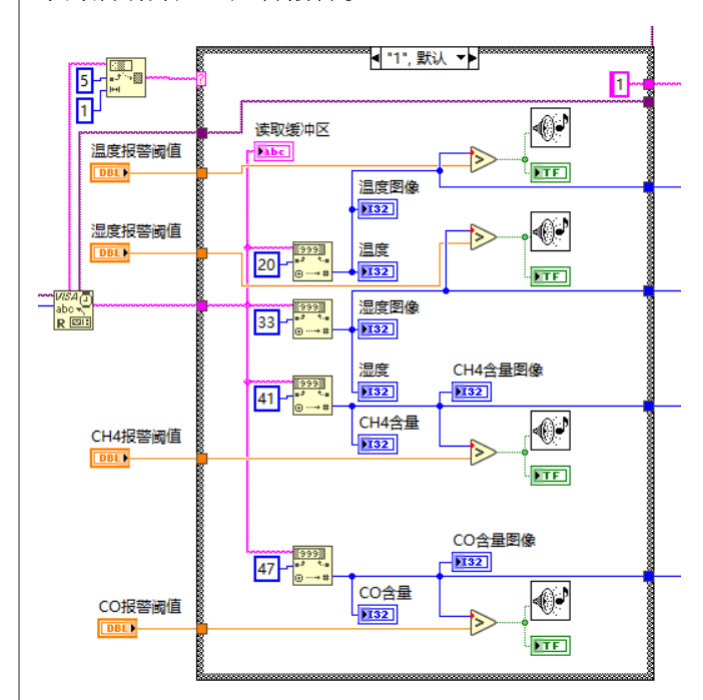


图 10 LabVIEW 数据显示程序

本文使用 LabVIEW 中的 ADO(ActiveX Data Objects)组件连接 MySQL 数据库。MySQL 数据库具有免费开源、简单易用、性能优异等特点。在上位机安装 MySQL ODBC 驱动后创建 ADO 连接,使用数据库可识别的 INSERT INTO 语句与字符串连接函数将数据保存至 MySQL 数据库,保存至数据库程序实现如图 11 所示。

|| 产品与技术 ||

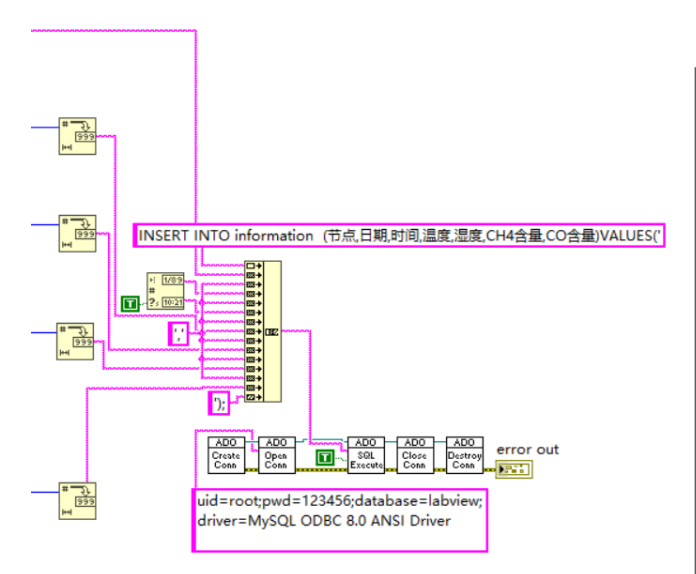


图 11 LabVIEW 保存数据程序

最终的数据库显示由 Navicat 软件实现可视化,其可对数据库进行浏览、创建、修改、删除等操作^[10]。同时也提供例如用户管理、权限管理等数据管理员功能,对不同操作人员设置不同访问权限。

4 系统测试

LabVIEW 前面板用户显示界面如图 12 所示,是通常的人机交互界面。软件从串口接收数据,对数据进行节点位置分析、读取节点数据信息,实时显示多个节点的气体含量信息并绘制图像。若有害气体超标将会触发报警,报警灯发出警告,并显示警告位置与类型。数据库的显示界面如图 13 所示。

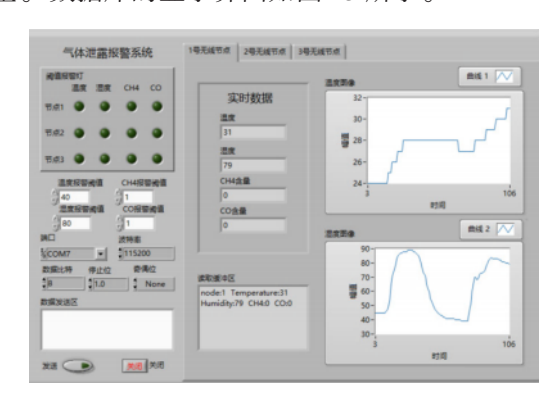


图 12 LabVIEW 上位机前面板界面

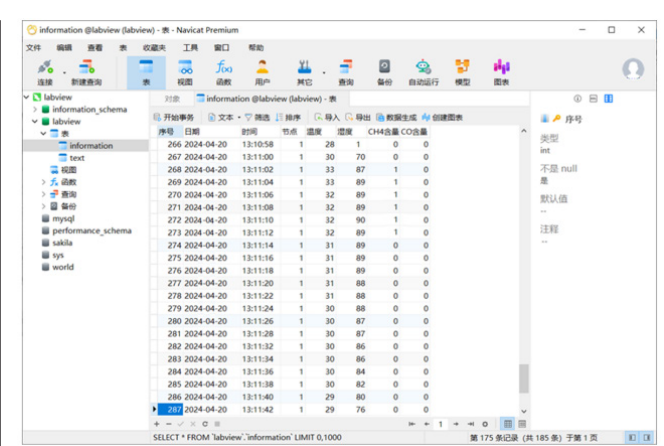


图 13 数据库显示界面

5 结束语

综上,根据井下煤矿现场作业的特殊环境,本 文提出了一种用于监测现场有害气体的 ZigBee 无线 传感器网络与 CAN 总线相结合的煤矿气体监测系统 方案,并设计 LabVIEW 上位机显示程序。经过测 试,可以满足对井下煤矿有害气体监测的要求。系统 操作简便、成本低、抗干扰能力强等诸多优点,对煤 矿的安全生产有积极意义。

参考文献

- [1] 王垒.内河航道智能航标系统的研究与开发 [D]. 武汉:湖北工业大学,2019.
- [2] 潘琳. 基于 ZigBee 技术的温室大棚环境参数远程 监测 [J]. 时代农机, 2018, 45 (11): 232-233.
- [3] 张国金,邹宁波.基于MySQL的玻璃厂工艺数据归档方法[J].建材世界,2014,35(5):68-73.
- [4] 赵国良. 基于 FPGA 的 CAN-USB 协议转换系统的设计 [D]. 淮南:安徽理工大学,2014.

(下转第88页)

(上接第63页)

 $(3) \cdot 41-42.$

- [5] 吴平.基于无线传感器网络的智能楼宇安全系统的设计[J].自动化技术与应用,2014,33(3):99-102.
- [6] 刘宇明,李辉,苏进.射频识别技术在电网通信设备中的应用[J].云南电力技术,2011,39
- [7] 侯雷,张艳芹. ZigBee 无线传感器网络协议及 仿真设计 [J]. 微型电脑应用,2011,27(3):58-61.6.

- [8] 杨春华,王章瑞,谢瑜.基于 ZigBee 的无线网络协调器节点的设计 [J]. 仪器仪表用户,2010,17(6):58-60.
- [9] 曹瑞. 计算机虚拟仪器环境 LaBVIEW 下语音信号的采集 [J]. 福建电脑, 2010, 26 (3): 163.
- [10] 易欣. 采空区可燃性气体爆炸特性研究 [D]. 西安: 西安科技大学, 2006.

(收稿日期: 2024-08-12)